

## N-95 コンクリートの変形について

北海道大学工学部 工博 横道英雄  
北海道大学工学部 工修 松岡健一

1. 総 要 本研究はコンクリートの応力-ひずみ特性に対するレオロジー的考察を加えたものである。すなわち、まずコンクリートの構成要素（骨材とペースト）の性質およびコンクリートの内部構造からレオロジカル模型を仮定し、実際の応力-ひずみ曲線に適合する理論式を誘導した。そしてこの理論式が実験結果によく一致し、かつこれに含まれる諸定数とコンクリートの構成要素の性質および強度との間に有意義の関係のあることを確めた。ただし変形は全て瞬間的なものとして取扱った。

2. 実験材料および実験方法 骨材としては性質の明瞭な、形の均一なガラス球を用いて、その粒径を $1mm$ ,  $2mm$ ,  $4mm$ でばらべてはくべきを少なくてした。セメントはアサノ普通セメントを用い、使用水も不要な影響を除くため蒸留水を用いた。実験方法は供試体 $0.5 \times 10^4 mm^3$ を用いJIS A 1108の圧縮試験方法により載荷し、ひずみは二方向のストレインゲージを両面対称に貼り応力度 $25 MPa$ まで破壊まで測定した。

3. レオロジカル模型および理論式 レオロジカル模型は図-1の如くである。模型で(1)の部分はコンクリートの弾性的性質を表わすものであり、(2)および(3)はコンクリートの粘弾性的性質を表わす。(4)の部分は著者が提案する模型（構型模型）である。この詳細図は図-1(b)に示す如く、歯の歯の部分は段階的に強度の増加するもので図では歯の厚さでそれを示す。実際には歯の部分は不連続なものではなく、これは非常に小さく歯の厚さは無視出来、その強度分布のサクサクとした様な模型である。この模型(4)はコンクリートの内部構造の変化を表わす。すなわち、コンクリートの応力-ひずみ曲線は図-2の如くであり応力に対してクリープ的現象を示す。しかも減ず応力に対しては図-2実線の如く動弾性係数の勾配に近い値で減り、永久変形を生ずる。この変形はコンクリート内部の微細ひびわれの成長、取位の発生、成長等の内部構造の変化によるものである。図-1の模型ではこの理論に従って(4)の部分の強度分布を決定することにより応力-ひずみ特性を説明出来る。今、 $\alpha$ ；

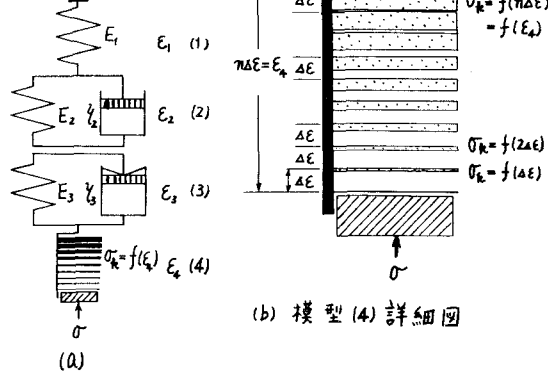


図-1 レオロジカル模型

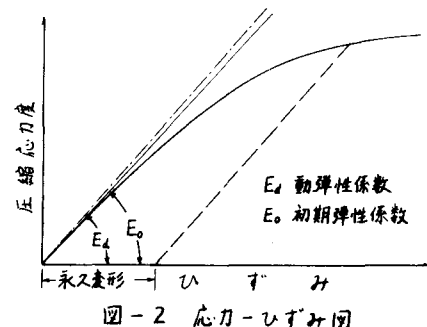


図-2 応力-ひずみ図

コンクリート内部に存在する元永久変形、 $\varepsilon_0$ ；応力 $\sigma$ のとき測定される永久変形、 $\varepsilon$ ；永久変形の増加率とすると永久変形と応力の関係は、 $\varepsilon = \alpha(e^{\beta\sigma} - 1)$  — ① (4)の桶型模型の強度分布は従って永久変形に対して、 $\sigma_a = \log(\varepsilon_a/\alpha + 1)/\beta$  — ② となりレオロジカルモデルによる応力-ひずみ曲線は、 $J_d = 1/E_d$  (動弾性コンプライアンス) とすると、 $\varepsilon = J_d\sigma + \alpha(e^{\beta\sigma} - 1)$  — ③ となる。くり返し応力に対しては、既に $\sigma'$ の応力をうけたものでは $\sigma' < \sigma$ で  $\varepsilon_a = \alpha(e^{\beta\sigma'} - 1)$ 、 $\sigma' > \sigma$ で  $\varepsilon_a = \alpha(e^{\beta\sigma} - 1)$  すなわち全体のひずみはそれされ、 $\varepsilon = J_d\sigma + \alpha(e^{\beta\sigma} - 1)$  ( $\sigma' < \sigma$ )、 $\varepsilon = J_d\sigma' + \alpha(e^{\beta\sigma'} - 1)$  ( $\sigma' > \sigma$ ) であり図-2の曲線に一致する。

#### 4. 実験結果の考察。

式②に従って実測された応力-ひずみ曲線に適合するように各係数を決定した結果は図-3, 4, 5 の如くである。 $J_d = 1/E_d$  に対しては Hirsch 式の理論によく合う (図-5)。

骨材容積比と強度および係数  $\alpha$ 、 $\beta$  の関係は図-3 の如くであり  $\alpha$  は強度と同じ様で、 $\beta$  は逆の傾向を示している。この傾向は直接強度と比較した図-4 でさうにはっきりしてない。 $\beta$  は強度に対して逆比例し、 $\alpha$  は二次的に増加している。この

ことは強度の高いコンクリートでは永久変形の増加率もが小さく、その反面強度の高いコンクリートはこの実験ではセメント量が多くてペーストの硬化の際の微細ひびわれが多く元永久変形  $\alpha$  が大きな値をとることを示している。強度と係数の数値的関係は図-4 から、 $\alpha = 29.0 \times 10^{12} G_{CB}^2 + 1.0 \times 10^{-6}$ 、 $\beta = 4.726 / G_{CB} (\text{cm}^3/\text{kg})$  — ④ が求められた応力-ひずみ曲線は、 $\varepsilon = J_d\sigma + 29.0 \times 10^{12} G_{CB}^2 + 1.0 \times 10^{-6} (e^{4.726/G_{CB}} - 1)$  となる。

実測値、実測値から式③により係数を求めて理論式、Peltier 式の式<sup>(2)</sup>により計算した値を図-6 に示す。Peltier 式の式は丘が大きな値を示しコンクリートの内部構造との関連性に対する考察が不十分である。

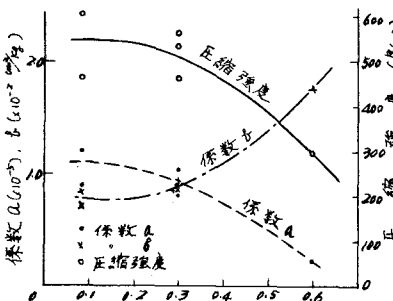


図-3 骨材容積比と係数  $a$ ,  $b$  および  
圧縮強度の関係

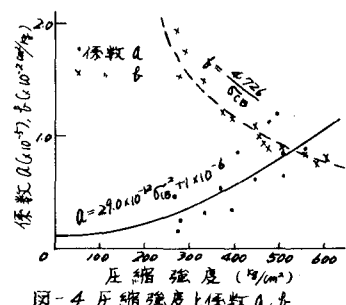


図-4 圧縮強度と係数  $a$ ,  $b$

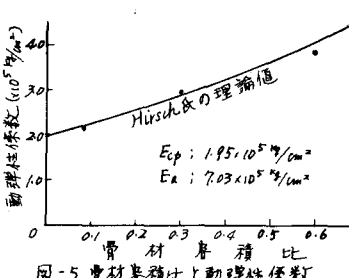


図-5 骨材容積比と動弾性係数

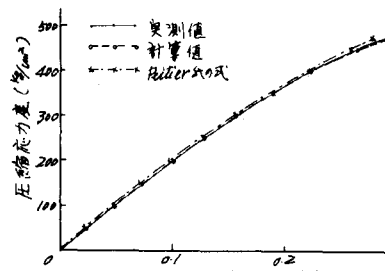


図-6 実測値と計算値の比較

参考文献：(1) "Modulus of Elasticity of Concrete affected by Elastic Moduli of Cement Paste Matrix and Aggregate", by Teddy J. Hirsch, Mar. 1962 ACI, (2) "Note sur la Rhéologie du Béton Fortement Précontraint", by R. Peltier, Annales des Ponts et Chaussées No. 4, 1963